





① Número de publicación: 2 301 352

21) Número de solicitud: 200601065

(51) Int. Cl.:

C12N 7/01 (2006.01) **A01N 63/00** (2006.01)

② SOLICITUD DE PATENTE A1

22 Fecha de presentación: 26.04.2006

Olicitante/s: Universidad Pública de Navarra Campus de Arrosadia, s/n (OTRI) Edificio El Sario 31006 Pamplona, Navarra, ES

43) Fecha de publicación de la solicitud: 16.06.2008

72 Inventor/es: Caballero Murillo, Primitivo; Williams, Trevor; Muñoz Labiano, Delia; Murillo Pérez, Rosa y Lasa Covarrubias, Rodrigo

(43) Fecha de publicación del folleto de la solicitud: 16.06.2008

74 Agente: Elzaburu Márquez, Alberto

(4) Título: Nuevos genotipos del nucleopoliedrovirus de *Spodoptera exigua* y uso de los mismos en el control de las plagas producidas por este insecto.

(57) Resumen:

Nuevos genotipos del nucleopoliedrovirus de *Spodoptera exigua* y uso de los mismos en el control de las plagas producidas por este insecto.

La invención se refiere a seis nuevos genotipos del nucleopoliedrovirus múltiple de Spodoptera exigua denominados AIPstM0935, AIPstM1400, AIPstM1033, AIPstM1449, AIPstM0923, y AIPstM0657 y su uso, preferentemente como mezcla de dos o más genotipos, dentro de composiciones insecticidas contra plagas producidas por Spodoptera exigua. Una forma preferida de realización de la invención es añadir a estas composiciones abrillantadores ópticos, potenciando así su capacidad insecticida. La invención describe también un método de producción de poliedros del virus inoculando larvas de Spodoptera exigua, preferiblemente tratadas previamente con un análogo de la hormona juvenil de este lepidóptero. Las composiciones insecticidas de la invención representan una tecnología limpia y segura, al no dejar residuos tóxicos sobre las cosechas ni ser tóxicas para el hombre ni otros animales, incluidos parasitoides y depredadores de plagas.

DESCRIPCIÓN

Nuevos genotipos del nucleopoliedrovirus de *Spodoptera exigua* y uso de los mismos en el control de las plagas producidas por este insecto.

Ámbito de la invención

La invención se adscribe al sector técnico de los plaguicidas biológicos de aplicación al control de plagas provocadas por las larvas del lepidóptero *Spodoptera exigua*, mediante el uso de nuevos genotipos de nucleopoliedrovirus.

Estado de la técnica

15

Problemática fitosanitaria en los invernaderos: control de Spodoptera exigua

Alguno de los principales cultivos producidos en invernadero, por producción y valor de la misma, son pimiento, tomate, sandía, melón, calabacín, pepino, judía y berenjena. La problemática fitosanitaria asociada a estos cultivos es bastante amplia concurriendo en ellos plagas, incluyendo larvas del lepidóptero *Spodoptera exigua* (Moreno, R. *et al.* 1992; Belda, J. *et al.* 1994). El control de *S. exigua* en los invernaderos se realiza por medio de la aplicación de plaguicidas químicos. Sin embargo, la utilización sistemática de estos insecticidas no funciona con la eficacia esperada a causa de graves problemas de resistencias en esta plaga (Cuadrado Gómez I.M. y Viñuela Sandoval, E. 1998). Adicionalmente, el control químico de *S. exigua* conlleva problemas relacionados con los niveles de residuos de plaguicidas que deben ser mantenidos por debajo de los límites máximos de residuos, siguiendo las regulaciones establecidas para frutas y hortalizas en la Unión Europea (http://europa.eu. int/comen/food/fvo/specialreports/pesticides_index_en.htm).

25 Los Baculovirus como insecticidas biológicos

La familia *Baculoviridae* agrupa a virus de DNA de doble cadena cuyos viriones están característicamente incluidos en una matriz cristalina de naturaleza proteica, de 3 a 15 de diámetro, en la que puede estar incluido un alto número de partículas virales y a la que se hace referencia en la presente memoria con el nombre de cuerpo de oclusión (abreviados "OB", del inglés "occlusion body") o también, debido a su forma geométrica, con el nombre de poliedro. A efectos también de la presente memoria, el término virión se define como la partícula viral formada por una o más moléculas circulares de ADN de doble hebra empaquetadas individualmente en una cápsida proteica y envueltas por una membrana lipoproteica de estructura laminar. La familia consta de los géneros *Nucleopoliedrovirus* (NPV) y *Granulovirus* (GV); la mayoría de los cuales han sido aislados de lepidópteros (Caballero, P. *et al.* 2001). Los virus de esta familia se caracterizan por tener un estrecho espectro de huéspedes y una elevada patogenicidad y virulencia. El poliedro que los caracteriza los hace estables durante largos periodos (Jaques, R. P. 1985) y facilita su aplicación mediante pulverizaciones acuosas convencionales. Además, el uso insecticida de los baculovirus, debido a su estrecho espectro de huéspedes (Gröner, A. 1986) y a la ausencia de otros posibles efectos perjudiciales, no entraña riesgos ambientales mayores.

El estado susceptible del lepidóptero es el de la larva que es infectada al alimentarse de un substrato vegetal contaminado con poliedros del virus. Al final del proceso infeccioso, que se completa entre tres y ocho días, la larva muere y el tegumento se degrada liberando grandes cantidades de poliedros que contaminan las plantas, los cuales constituyen el inóculo que sirve para dar origen al proceso de infección en otras larvas susceptibles.

La utilidad y efectividad de los baculovirus para el control de las plagas han sido ampliamente demostradas (Moscardi, F. 1999). Se sabe que, en general, la actividad insecticida del virus (medida en términos de la dosis letal media, DL₅₀) cambia en función del estadio larvario, siendo el virus más activo, en general, para las larvas más jóvenes (las de los primeros estadios) y disminuyendo su actividad (aumenta el valor de la DL₅₀) a medida que aumenta el tamaño de la larva. Actualmente hay comercializados más de treinta bioinsecticidas basados en baculovirus contra algunas de las plagas más importantes en el ámbito mundial entre las que se incluye *S. exigua*. Los bioinsecticidas basados en baculovirus, dadas sus características, son agentes de control ideales para su inclusión en programas de control integrado y su acción insecticida es especialmente útil: (i) contra aquellas especies fitófagas que han desarrollado resistencia múltiple o cruzada a los insecticidas químicos de síntesis y (ii) en los programas de control donde se incluyen agentes biológicos de control susceptibles a la acción de los insecticidas químicos (Hunter-Fujita *et al.*, 1998).

El nucleopoliedrovirus de S. exigua: selección de una materia activa adecuada

Con frecuencia se encuentra que los distintos aislados de un mismo baculovirus difieren significativamente en sus propiedades insecticidas para un mismo insecto. Por tanto, la selección de la variante más efectiva para una determinada especie fitófaga es un importante elemento a la hora de desarrollar un bioinsecticida. El nucleopoliedrovirus múltiple de *Spodoptera exigua* (al que se hace referencia también en la presente memoria mediante sus correspondientes siglas en ingles SeMNPV) es un virus de la familia Baculoviradae, capaz de infectar y matar larvas del lepidóptero *Spodoptera exigua*, que se ha aislado en diferentes regiones del mundo incluyendo Norte América, Tailandia, Países Bajos, Taiwán, India, Egipto y Japón (Hara K. *et al.* 1995). Este virus también se ha aislado en España, donde provoca epizootias naturales en poblaciones de *S. exigua* en girasol y en los cultivos hortícolas de los invernaderos de Almería (Caballero P. *et al.* 1992). La eficiencia de preparados simples de algunos aislados de SeMNPV ha resultado igual o

mejor que el grado de control logrado por aplicación de insecticidas químicos de síntesis (Kolodny-Hirsch, D. M., et al. 1997).

Un aislado del SeMNPV originario de Florida, USA, se ha desarrollado como un producto comercial registrado bajo el nombre de Spod-X[®] en Holanda, Estados Unidos y Tailandia (Smits, P. H. y Vlak, J. M. 1994). El producto se utiliza en los invernaderos de los Países Bajos en cultivos de plantas ornamentales. Actualmente el virus es comercializado por la empresa Certis USA (http://www.certisusa.com/products/viruses.html). Sin embargo, este producto presenta importantes problemas relacionados con su efectividad: la calidad biológica del producto está afectada por la presencia de genotipos autoparásitos que reducen la capacidad insecticida del virus (Muñoz, D. *et al.*, 1998). Los genotipos autoparásitos se caracterizan por haber perdido genes esenciales para su replicación y dependen de manera parasítica de otros genotipos presentes en la cepa silvestre para producir las proteínas necesarias durante su replicación (Muñoz, D. *et al.*, 2000).

Hoy en día se pueden identificar las diferentes variantes genotípicas presentes en poblaciones naturales de baculovirus mediante técnicas moleculares basadas en el uso de endonucleasas de restricción y secuenciación del genoma o de fragmentos del mismo. Se ha reconocido la presencia de diversas variantes genotípicas con diferentes actividades insecticidas en aislados de SeMNPV colectadas en el sur de España (Muñoz, D. *et al.*, 1999).

Formulación de los bioinsecticidas basados en baculovirus

Los bioinsecticidas basados en baculovirus, a diferencia de los plaguicidas químicos, actúan exclusivamente por ingestión y su persistencia sobre el cultivo es mucho menor. La mayoría de los baculovirus actualmente comercializados como bioinsecticidas utilizan el mismo tipo de formulación que los insecticidas químicos.

Los abrillantadores ópticos son un grupo de compuestos químicos que, por su capacidad de absorber la radiación ultravioleta y emitir luz en la región azul del espectro visible, son utilizados comúnmente para dar mayor brillo a pinturas, fibras, etc.. Los más conocidos son los derivados del estilbeno. Se ha demostrado la capacidad que tienen estas sustancias de potenciar la actividad insecticida del baculovirus (Patente de EE.UU. US5124149) debido a la interacción del blanqueador con la membrana peritrófica del intestino del insecto (Wang, P. y Granados, R. R. 2000). En *S. exigua*, la actividad sinérgica de la sustancia aumenta con la edad del huésped tratado de forma que los valores de las concentraciones letales requeridas para el control de larvas de los últimos estadios puede reducirse a valores similares a los que se requieren para el control de larvas de los primeros estadios (Murillo, R. *et al.* 2003).

Producción de SeMNPV

35

45

50

15

20

25

La producción *in vivo* sobre huéspedes permisibles es la metodología actualmente utilizada para la producción de todos los bioinsecticidas basados en baculovirus disponibles en el mercado incluido el SeMNPV. Básicamente consiste en alimentar larvas con dieta semisintética que es superficialmente contaminada con una determinada suspensión acuosa del virus que se quiere multiplicar. Algunos de los aspectos esenciales de esta metodología, como por ejemplo las dietas para insectos o los métodos de cría masiva, deben ser específicamente desarrollados para cada sistema huésped-patógeno. El método de cría masiva de *S. exigua* ha sido optimizado para la producción de SeMNPV en Tailandia (Cherry, A. J. *et al.* 1997). También se ha desarrollado un sistema de producción de baculovirus el cual utiliza una alta densidad de larvas que aun no ha sido probado para la producción de SeMNPV (Patente de EE.UU. US5351643).

Descripción de la invención

La invención se refiere a seis nuevos genotipos del nucleopoliedrovirus múltiple de Spodoptera exigua denominados AlPstM0935, AlPstM1400, AlPstM1033, AlPstM1449, AlPstM0923, y AlPstM0657, cuyo depósito se ha efectuado en la Collection Nationale de Cultures de Microorganismes, Institut Pasteur, París, Francia. Estos genotipos se diferencian entre sí, y con respecto a otros descritos en la literatura, por la secuencia de nucleótidos localizados entre las 10.637 y 11.744 pares de bases del genoma viral, tomando como referencia la secuencia del genoma cuyo número de GeneBank es N0002169 y que corresponde a un genotipo procedente de un aislado de Estados Unidos. Una diferenciación rápida y precisa de cada uno de estos genotipos puede obtenerse empleando una combinación de la técnica de la PCR y la digestión con endonucleasas de restricción de los fragmentos amplificados. Cada genotipo posee una actividad insecticida característica para las larvas de Spodoptera exigua, la cual se determina como la relación estadística entre el número de partículas del virus (poliedros) y la mortalidad inducida en larvas tratadas y se expresa como dosis letal media (DL_{50}). La mezcla de dos o más genotipos tiene una actividad insecticida significativamente mayor que la de los genotipos individuales. Mediante la adición de abrillantadores ópticos, como por ejemplo Leucophor, se puede incrementar la actividad insecticida del virus entre 20 y 1000 veces. Los poliedros, en los cuales radica la actividad insecticida, pueden producirse de forma masiva in vivo, inoculando larvas de Spodoptera exigua con dosis elevadas. El tratamiento de las larvas con un análogo de la hormona juvenil, previamente a su inoculación con el virus, permite aumentar la producción de poliedros por larva entre 3 y 8 veces. Los poliedros extraídos de las larvas, pulverizados como suspensiones acuosas, protegen de una forma efectiva a los cultivos de las plagas ocasionadas por larvas de *Spodoptera exigua*, incluso cuando estas han desarrollado resistencias a los insecticidas químicos. Este producto representa una tecnología limpia y segura ya que no deja residuos tóxicos sobre las cosechas y no es tóxico para el hombre ni otros animales, incluidos los enemigos los parasitoides y depredadores de las plagas.

Un objeto de la presente invención es un nucleopoliedrovirus múltiple de *Spodoptera exigua* que pertenece a un genotipo seleccionado entre AlPstM0935, AlPstM1400, AlPstM1033, M1PstM1449, AlPstM0923 o AlPstM0657, preferentemente en forma de poliedro. Dicho nucleopoliedrovirus se caracteriza por comprender una secuencia de ADN seleccionada entre: SEQ ID NO:4, SEQ ID NO:5, SEQ ID NO:6, SEQ ID NO:7, SEQ ID NO:8 ó SEQ ID NO:9.

Otro objeto de la presente invención son composiciones plaguicidas que contengan, en forma de poliedros, alguno de los nucleopoliedrovirus AlPstM0935, AlPstM1400, AlPstM1033, AlPstM1449, AlPstM0923 o AlPstM0657, o combinaciones de los mismos, con cualquier otro excipiente o vehículo apropiado en el sector agrícola que lo haga apto para ser aplicado según cualquiera de los métodos habituales en agricultura: pulverización a nivel de tierra, pulverización aérea, en disolución, en forma de polvo, por cualquier tipo de sistema de riego o irrigación, en forma sólida, asociado a abonos, fertilizantes, etc.

Son también objeto de la presente invención las composiciones plaguicidas definidas anteriormente que comprendan un agente potenciador del efecto patógeno del nucleopoliedrovirus sobre el lepidóptero. Especialmente útiles se han mostrado las composiciones plaguicidas en que dicho agente potenciador es un abrillantador óptico, particularmente un derivado del estilbeno y, en concreto, composiciones plaguicidas que contengan Leucophor AP.

Descripción detallada de la invención

Ejemplo 1

20

25

Aislamiento de los genotipos del nucleopoliedrovirus de <u>S. exigua</u> AlPstM0935, AlPstM1400, AlPstM1033, AlPstM1449, AlPstM0923 y AlPstM0657 de muestras de suelo o insectos

Los genotipos del SeMNPV AlPstM0935, AlPstM1400, AlPstM1033, AlPstM1449, AlPstM0923 y AlPstM0657 han sido aislados de muestras de suelo incorporadas a dieta artificial [Richards y Christian, 1999]. Aproximadamente 10 g de suelo se añaden en 90 ml de dieta artificial (7,2% germen de trigo, 3,3% caseína, 2,9% azúcar comercial, 1.4% levadura de cerveza, 0.94% mezcla de sales de Wesson, 0.15% ácido sórbico, 0.09% colesterol, 0.09% nipagina, 1,9% agar industrial y 82,8% agua destilada). De este preparado se colocan pequeñas pastillas (5x5x5 mm) en viales de 1 ml y se infestan con una larva de primer o segundo estadio. Para cada muestra se tratan un total de 50 larvas y como control un grupo de larvas alimentadas con dieta a la que se incorporó una muestra de suelo previamente esterilizado. Las larvas así tratadas se mantienen en condiciones de temperatura constante de 26 ± 2°C y oscuridad. Las larvas que mueren en los días siguientes se examinan al microscopio óptico en contraste de fases para determinar el agente causante de la muerte. En las larvas muertas por nucleopoliedrovirus se purifican los poliedros triturando los cadáveres en agua bidestilada que contiene dodecilsulfato sódico al 0,01% y filtrando la suspensión resultante a través de un filtro de muselina. Los poliedros se precipitan por centrifugación a 6000 g durante 10 min. Posteriormente se realiza un lavado con agua que contiene cloruro sódico al 0,01% y se precipitan por centrifugación en las mismas condiciones. Para conservar los poliedros se resuspenden finalmente en agua estéril. Debido a sus características los poliedros pueden ser almacenados en refrigeración durante largos periodos de tiempo en agua o agua con un 50% de glicerol a -80° C o por liofilización. En suspensiones acuosas almacenadas a 4°C también mantienen su capacidad patogénica durante largos periodos de tiempo, mientras que a temperatura ambiente pierden parte de esta capacidad después de ocho o diez meses.

Ejemplo 2

Caracterización de los genotipos AlPstM0935, AlPstM1400, AlPstM1033, AlPstM1449, AlPstM0923, y AlPstM0657

Para producir una mayor cantidad de poliedros de los genotipos AlPstM0935, AlPstM1400, AlPstM1033, AlPstM1449, AlPstM0923 y AlPstM0657 es necesario infectar larvas sanas de *S. exigua* alimentándolas con dieta artificial contaminada o también en distintas líneas celulares de *S. exigua* cultivadas *in vitro*, en medio de cultivo (Hara K. *et al.*, 1994).

Para poder diferenciar genéticamente los seis genotipos se pueden utilizar métodos bien conocidos en la técnica (Muñoz, D. *et al.*, 2001). Un método preciso, reproducible y ampliamente utilizado es el análisis del ADN genómico, aprovechando la existencia de regiones que muestran una alta variabilidad estructural entre distintos aislados geográficos (Li *et al.*, 2005) o incluso entre genotipos purificados de un mismo aislado (García-Maruniak *et al.*, 1996), como las regiones homólogas (*hr*), que se localizan en número variable a lo largo del genoma. En el genoma del SeMNPV existen *6 hrs*, de las que la denominada *hr*1, que actúa como origen de replicación del virus *in vitro*, es la que muestra mayor variabilidad entre los genotipos (Muñoz, D. *et al.*, 1999). Esta zona hipervariable del genoma del virus SeMNPV está localizada en el fragmento de restricción *Pst*I-M (Fig. 1) y es útil para diferenciar variantes genotípicas en distintos aislados del SeMNPV. La digestión del ADN de los genotipos AlPstM0935, AlPstM1400, AlPstM1033, AlPstM1449, AlPstM0923 y AlPstM0657 con las endonucleasas de restricción *BgI*II y *Pst*I produce un perfil de restricción característico y único para cada genotipo (Fig 2). Por ejemplo, los fragmentos polimórficos generados por la endonucleasa de restricción *BgI*II (*BgI*II-A, *BgI*II-H, *BgI*II-J o K) o por *Pst*I (*Pst*I-M), pueden utilizarse como marcadores para diferenciar entre dos o más genotipos.

Una diferenciación más precisa de cada genotipo (AlPstM0935, AlPstM1400, AlPstM1033, AlPstM1449, AlPstM0923, y AlPstM0657) se obtiene empleando una combinación de la técnica basada en la reacción en cadena de la polimerasa (Polymerase Chain Reaction, PCR) junto con la digestión de los fragmentos amplificados por PCR con endonucleasas de restricción (Restriction Endonuclease, REN). El empleo de dos cebadores genéricos para todos estos genotipos (SEQ ID NO: 1 y SEQ ID NO: 2) permite amplificar una zona hipervariable del genoma comprendida en el fragmento de restricción PstIM (Tabla 1).

TABLA 1

.5	Genotipo	Tamaño estimado del fragmento amplificado (kilobases)	Tamaño del fragmento secuenciado (pares de bases)
	AlPstM0935	1,2	1197
	AlPstM1400	1,7	1661
0	AlPstM1033	1,3	1294
	AlPstM1449	1,6	1619
_	AlPstM0923	1,2	1151
5	AlPstM0657	0,9	896

10

La digestión de los fragmentos amplificados por PCR con la endonucleasa de restricción BglII produce perfi-30 les de restricción únicos para cada uno de los genotipos AlPstM0935, AlPstM1400, AlPstM1033, AlPstM1449, AlPstM0923, y AlPstM0657 (Tabla 2; Fig. 3). De esta manera el genotipo AlPstM0935 se caracteriza por dar un producto de PCR de 1,2 kb que al ser digerido por BglII genera tres fragmentos de 0,55; 0,4 y 0,25 kb. El genotipo AlPstM1400 se caracteriza por dar un producto de PCR de 1,7 kb que al ser digerido por BglII genera tres fragmentos de 0,25; 0,4 y 1,05 kb. El genotipo AlPstM1033 se caracteriza por dar un producto de PCR de 1,3 kb que al ser digerido por Bg/II genera dos fragmentos de 0,4 y 0,9 kb. El genotipo AlPstM1449 se caracteriza por dar un producto de PCR de 1,6 kb que al ser digerido por Bg/III genera cuatro fragmentos de 0,2; 0,3, 0,4 y 0,7 kb. El genotipo AlPstM0923 se caracteriza por dar un producto de PCR de 1,2 kb que no produce fragmentos al ser digerido por Bg/III.

El genotipo AlPstM0657 se caracteriza por dar un producto de PCR de 0,9 kb que al ser digerido por BglII genera dos fragmentos de 0,4 y 0,5 pb.

TABLA 2

	Genotipo	Fragmentos de restricción generados
		por <i>BgI</i> II (kb)
)	AlPstM0935	0,55; 0,4; 0,25
	AlPstM1400	0,25; 0,4; 1,05
	AlPstM1033	0,4; 0,9
	AlPstM1449	0,2; 0,3; 0,4; 0,8
	AlPstM0923	1,2
	AlPstM0657	0,4; 0,5

La secuencia de nucleótidos de la región variable entre genotipos es el método más preciso para la caracterización e identificación de los genotipos. El diseño de un nuevo cebador interno situado en la región conservada para todos los genotipos del extremo 5', cuya secuencia viene representada por SEQ ID NO:3, permite obtener la secuencia de nucleótidos completa correspondiente a la zona variable entre los genotipos AlPstM0935, AlPstM1400, AlPstM1033, AlPstM1449, AlPstM0923, y AlPstM0657.

Genotipo AlPstM0935: Se llevaron a cabo nueve reacciones de secuenciación utilizando el ABI PRISM^R Big Dye™ Terminatior Ready Reaction Cycle Sequencing kit en un termociclador modelo 9600 de Perkin-Elmer. Tras este proceso, los productos de las reacciones se han analizado en un secuenciador automático modelo ABI PRISM 3110 de Applied Biosystems. Finalmente se ha realizado el ensamblaje y edición en un solo contig. El procedimiento interno que describe estos procesos es el PEN06 (SEQ ID NO: 4).

Genotipo AlPstM1400: Se llevaron a cabo nueve reacciones de secuenciación utilizando el ABI PRISM^R Big DyeTM Terminatior Ready Reaction Cycle Sequencing kit en un termociclador modelo 9600 de Perkin-Elmer. Tras este proceso, los productos de las reacciones se han analizado en un secuenciador automático modelo ABI PRISM 3110 de Applied Biosystems. Finalmente se ha realizado el ensamblaje y edición en un solo contig. El procedimiento interno que describe estos procesos es el PEN06 (SEQ ID NO:5).

Genotipo AlPstM1033: Se llevaron a cabo nueve reacciones de secuenciación utilizando el ABI PRISM^R Big Dye™ Terminatior Ready Reaction Cycle Sequencing kit en un termociclador modelo 9600 de Perkin-Elmer. Tras este proceso, los productos de las reacciones se han analizado en un secuenciador automático modelo ABI PRISM 3110 de Applied Biosystems. Finalmente se ha realizado el ensamblaje y edición en un solo contig. El procedimiento interno que describe estos procesos es el PEN06 (SEQ ID NO: 6).

Genotipo AlPstM1449: Se llevaron a cabo catorce reacciones de secuenciación utilizando el ABI PRISM^R Big Dye™ Terminatior Ready Reaction Cycle Sequencing kit en un termociclador modelo 9600 de Perkin-Elmer. Tras este proceso, los productos de las reacciones se han analizado en un secuenciador automático modelo ABI PRISM 3110 de Applied Biosystems. Finalmente se ha realizado el ensamblaje y edición en un solo contig. El procedimiento interno que describe estos procesos es el PEN06 (SEQ ID NO: 7).

Genotipo AlPstM0923: Se llevaron a cabo catorce reacciones de secuenciación utilizando el ABI PRISM^R Big DyeTM Terminatior Ready Reaction Cycle Sequencing kit en un termociclador modelo 9600 de Perkin-Elmer. Tras este proceso, los productos de las reacciones se han analizado en un secuenciador automático modelo ABI PRISM 3110 de Applied Biosystems. Finalmente se ha realizado el ensamblaje y edición en un solo contig. El procedimiento interno que describe estos procesos es el PEN06 (SEQ ID NO: 8).

Genotipo AlPstM0657: Se llevaron a cabo ocho reacciones de secuenciación utilizando el ABI PRISM^R Big DyeTM Terminatior Ready Reaction Cycle Sequencing kit en un termociclador modelo 9600 de Perkin-Elmer. Tras este proceso, los productos de las reacciones se han analizado en un secuenciador automático modelo ABI PRISM 3110 de Applied Biosystems. Finalmente se ha realizado el ensamblaje y edición en un solo contig. El procedimiento interno que describe estos procesos es el PEN06 (SEQ ID NO: 9).

Ejemplo 3

O Actividad insecticida de los genotipos AlPstM0935, AlPstM1400, AlPstM1033, AlPstM1449, AlPstM0923, y AlPstM0657 y distintas mezclas de estos genotipos

La actividad insecticida de los genotipos individuales o distintas mezclas de genotipos se determina en términos de patogenicidad y tiempo de matar. La patogenicidad de los genotipos AlPstM0935, AlPstM1400, AlPstM1033, AlPstM1449, AlPstM0923, y AlPstM0657 y las mezclas AlPstM-M1 (AlPstM1400:AlPstM1033 en la proporción 1:1), AlPstM-M2 (AlPstM0935:AlPstM1400:AlPstM1033 en la proporción 1:1) se expresa como la dosis letal media (DL₅₀). Este valor se determina mediante bioensayo (Hughes y Wood, 1981) sobre larvas de *S. exigua* del segundo estadio. Las larvas se inoculan por ingestión de la cantidad de poliedros correspondiente para obtener cada una de las siguientes concentraciones: 7,50×10⁵; 2,50×10⁵; 8,18×10⁴; 2,72×10⁴; 9,03×10³ poliedros/ml, que corresponden a las dosis de 3, 9, 27, 81, y 243 poliedros/larva (esta relación, el número de poliedros por larva, se abreviará en lo sucesivo como OB/larva). Como testigo se incluye un grupo de larvas tratadas con la misma solución sin poliedros. Las larvas tratadas se mantienen a 26°C y cada 12 horas se registra el número de larvas muertas por infección de poliedros (Tabla 3).

55

60

TABLA 3

Tratamiento	Dosis	Larvas	Larvas
	(OB/larva)	tratadas	muertas
AlPstM0935			
	3	119	10
	9	119	28
	27	119	52
	81	120	65
	243	120	109
AlPstM1400			
	3	120	25
	9	116	31
	27	120	59
	81	118	81
	243	118	110
AlPstM1033			
	3	120	20
	9	119	32
	27	117	55
	81	119	82
	243	118	105
AlPstM1449			
	3	116	20
	9	119	34
	27	120	59
	81	120	81
	243	118	109
AlPstM-M1	2.15	110	107
7 111 00:171 1711	3	120	23
	9	120	39
	27	120	57
	81	120	81
	243	118	115
AlPstM-M2	4 7 3	110	113
THE SUNT-INIT	3	118	12
	9	120	21
	9 27		
	81	120	44
		120	66
AlPstM-M3	243	118	112
WIL 201AI-JAID	2	117	20
	3	117	30
	9	118	41
	27	118	60
	81	120	84
Las mezclas de genotipo	243	120	115

Las mezclas de genotipos corresponden a las siguientes combinaciones :

AlPstM-M1 = AlPstM1400:AlPstM1033

65

AlPstM-M2= AlPstM0935:AlPstM1400:AlPstM1033

AlPstM-M3= AlPstM0935: AlPstM1033.

Los datos dosis-mortalidad son analizados mediante una regresión probit entre el logaritmo de la dosis y la mortalidad que nos permite obtener los valores de la DL_{10} DL_{50} para los genotipos individuales y las mezclas de varias combinaciones de los mismos (Tabla 4). La patogenicidad de las mezclas AlPstM-M2 y AlPstM-M3 es mayor que la de los genotipos individules.

TABLA 4

Genotipo	DL ₁₀ (OBs/larva)	DL ₅₀ (OBs/larva)	
Genoupo	10 (2230 (3237411 (3)	
AlPstM0935	2,61	50,50	
AlPstM1400	1,48	27,29	
AlPstM1033	1,53	29,86	
AlPstM1449	1,31	29,33	
AlPstM-M1	1,05	27,89	
AlPstM-M2	1,03	22,62	
AlPstM-M3	0,77	24,17	

Las mezclas de genotipos corresponden a las siguientes combinaciones :

AlPstM-M1 = AlPstM1400:AlPstM1033

AlPstM-M2= AlPstM0935:AlPstM1400:AlPstM1033

AlPstM-M3= AlPstM0935: AlPstM1033.

El tiempo de matar de los genotipos AlPstM0935, AlPstM1400, AlPstM1033, AlPstM1449 y las mezclas AlPstM-M1, AlPstM-M2, AJPstM-M3 se muestra como el porcentaje de mortalidad medido en dos momentos distintos a lo largo de la infección, porcentajes que no son acumulativos, sino que corresponden a las muertes de larvas registradas a las 72 horas de haber sido tratadas y en el período comprendido entre las 72 y las 96 horas después de haber sido tratadas (Tabla 5).

TABLA 5

Genotipo	% Mortalidad	% Mortalidad	
Genoupo	(72 horas)	(96 horas)	
AlPstM0935	35,6	15,3	
AlPstM1400	28,3	30,0	
AlPstM1033	35,6	17,0	
AlPstM1449	18,64	37,3	
AlPstM-M 1	28,9	24,4	
AlPstM-M2	36,4	25,0	
AlPstM-M3	49,0	18,4	
	corresponden a las siguientes		

Las mezclas de genotipos corresponden a las siguientes combinaciones :

AlPstM-M1= AlPstM1400:AlPstM1033

AlPstM-M2= AlPstM0935:AlPstM1400:AlPstM1033

AlPstM-M3= AlPstM0935: AlPstM1033.

El pico de mortalidad se registra a las 72 horas, es decir, el período comprendido entre las 60 horas postinfección y las 72 horas postinfección, es el período en el que se registra mayor porcentaje de larvas muertas.

60

10

15

20

25

30

Ejemplo 4

60

Efecto del abrillantador óptico Leucophor AP sobre la actividad insecticida del nucleopoliedrovirus de S. exigua

Tal como se comentó anteriormente, la actividad insecticida del virus (medida en términos de la dosis letal media, DL₅₀) cambia en función del estadio larvario. En general, puede decirse que el virus es más activo (presenta un menor valor de DL₅₀) para las larvas más jóvenes (de los primeros estadios) y disminuye su actividad (aumenta el valor de la DL₅₀) a medida que aumenta el tamaño de la larva. Interesa, sin embargo, que el virus pueda matar a las larvas a la dosis más baja posible, para que sea necesario aplicar menos producto y el correspondiente insecticida resulte más barato. Por ello, se buscó un producto que pudiera mostrar una actividad sinérgica con el virus.

El Leucophor AP aumenta la actividad insecticida del nucleopoliedrovirus de *S. exigua* cuando se suministra mezclado al 0,1 o al 1% con los poliedros de diferentes genotipos de SeMNPV. Dicha mortalidad se determinó mediante el método de bioensayo por contaminación de superficie de dieta (Muñoz, D. *et al.*, 2001). Varias suspensiones del nucleopoliedrovirus, en agua destilada o soluciones acuosas de Leucophor AP (suministrado por Clariant Ibérica, Barcelona, España) al 1% se aplicaron superficialmente sobre la dieta previamente dispensada en los pocillos (400 mm²) de una caja de petri compartimentalizada, para obtener las siguientes concentraciones de virus: 273, 91, 18, 9, 2 y 0 poliedros por mm² de dieta. En cada uno de estos pocillos se coloca una larva de *S. exigua* y se mantienen a 25°C en oscuridad. La mortalidad de las larvas debida a virus se registra a los 7 días (Tabla 6). Se muestran los resultados correspondientes a larvas del cuarto estadio, en las que el efecto sinérgico del abrillantador es más fácil de apreciar debido a que las dosis letales medias de SeMNPV requeridas en ausencia de compuesto con efecto sinérgico (aproximadamente 100 OB/larva) son más elevadas que en estadios más tempranos como por ejemplo el segundo (al que le corresponden un valor de DL₅₀ en ausencia de compuesto con efecto sinérgico de aproximadamente 10 OB/larva), siendo la disminución de la DL₅₀ más fácil de apreciar cuando se parte de valores más elevados. Los resultados mostraron un importantísimo incremento de la mortalidad causada por el virus.

TABLA 6

35	Tratamiento	Concentración (OBs/mm² de dieta)	Nº larvas tratadas	N° larvas muertas al 7° día
	AlPstM-M2 +H ₂ O			
40		273	74	55
.0		91	75	39
		18	74	29
		9	74	18
45		2	73	9
		0	50	0
	AlPstM-M2 +Leuc	cophor AP (1%)		
		273	74	74
50		91	75	75
		18	74	74
		9	74	74
55		2	75	72
		0	50	0

La mezcla de genotipos AlPstM-M2 corresponde a la suma de los genotipos AlPstM0935:AlPstM1400:AlPstM1033.

En un segundo ensayo se utilizaron concentraciones más bajas del nucleopoliedrovirus tanto en suspensiones acuosas de Leucophor AP al 1% (2,73; 0,91; 0,18; 0,05 y 0,01 poliedros/mm² de dieta) como en las suspensiones de Leucophor AP 0,1% (27,3; 9,1; 1,8; 0,5 y 0,1 poliedros/mm² de dieta), de manera que se pudiera establecer la concentración requerida (número de OBs por unidad de superficie o por unidad de volumen) para matar el 50% de

las larvas tratadas en cada caso (CL_{50} ; ver Tabla 7). Los resultados muestran claramente que el Leucophor AP a una concentración del 0.1% produce un incremento de la actividad del virus de más de 20 veces y a la concentración del 1% dicho incremento llega a ser de más de 1000 veces.

TABLA 7

Tratamiento	CL_{50} a los 7 días (OBs/400 mm 2 de dieta)
AlPstM-M2 +H ₂ O	22400
AlPstM-M2 +Leucophor AP (1%)	4
AlPstM-M2 +Leucophor AP (0,1%)	888
En cada tratamiento se utilizaron 5 concen	traciones de virus y uno (H ₂ O)
dos controles (H2O y/o Leucophor+H2O) y se trataron 25 larvas po

En cada tratamiento se utilizaron 5 concentraciones de virus y uno (H_2O) o dos controles (H_2O) y/o Leucophor $+H_2O)$ y se trataron 25 larvas por concentración. Cada tratamiento se repitió cuatro veces. En ninguno de los controles se observó mortalidad causada por virus.

25 Ejemplo 5

5

10

15

20

55

60

Producción masiva del nucleopoliedrovirus de S. exigua

Para determinar la producción masiva de la mezcla del nucleopoliedrovirus de *S. exigua* AlPstM-M2 se utiliza como criterio el número de OBs que producen las larvas letalmente infectadas. Para llevar a cabo este procedimiento, se considera que el estadio larvario de *S. exigua* más adecuado para la producción masiva de virus es el último posible (el cual, si el desarrollo larvario se produce de forma natural, sería el quinto) pues es aquel en el que el tamaño del huésped es mayor, por lo que también lo es el número de células en el que puede multiplicarse el virus y mayor es la cantidad de OBs que se obtienen por huésped infectado, pero también podrían utilizarse larvas de otros estadios. En cuanto a la cantidad de virus suministrados por larva, se prefiere utilizar entre 10⁶ y 10⁷ OB/larva, para asegurar que haya una mortalidad del 100% de las larvas tratadas. La temperatura adecuada para mantener las larvas es de 26±2°C.

Larvas recién mudadas al último estadio (quinto estadio) son individualmente alimentadas con dieta artificial sólida (8 mm³) (preparada tal como se describe en Muñoz, D. *et al.*, 2001), contaminada con $10 \,\mu$ l de una suspensión acuosa de 10^8 OBs/ml del virus. Se trataron un total de 30 larvas por repetición y se hicieron tres repeticiones de la misma prueba. Las larvas tratadas se mantuvieron a 25°C hasta que se produjo su muerte (aproximadamente a los 6 días). Los poliedros producidos por cada larva muerta se extrajeron y se purificaron según se ha indicado anteriormente (ver ejemplo 1). La suspensión final de OBs se tituló al microscopio óptico en contraste de fases haciendo uso de un hemocitómetro (cámara Neubauer). Los resultados indican que la producción de poliedros por larva oscila entre 0.66×10^9 y 3.94×10^9 y la producción de poliedros por miligramo de larva varía entre 0.41×10^7 y 2.35×10^7 (Tabla 8).

50 (Tabla pasa a página siguiente)

TABLA 8

5	Larvas tratadas con AlPstM-M2*	Producción de poliedros por larva	Peso alcanzado por larva (mg)	larva
10		(×10 ⁹)	160.5	(×10 ⁷)
10	1	1,65	169,5	0,97
	2	1,38	175,4	0,79
	3	3,18	295,8	1,07
15	4	2,04	166,7	1,22
	5	1,67	230,6	0,72
	6	3,35	198,6	1,69
20	7	1,89	168,4	1,12
	8	2,40	237,1	1,01
	9	3,73	249	1,50
25	10	1,83	173,6	1,05
23	11	3,58	244,9	1,46
	12	1,76	262,3	0,67
	13	1,63	181,5	0,90
30	14	2,02	140,2	1,44
	15	3,45	284,2	1,21
	16	2,92	210	1,39
35	17	2,11	204	1,03
	18	2,66	216,5	1,23
	19	1,65	177,9	0,92
40	20	3,02	244,9	1,23
40	21	1,37	175,8	0,78
	22	1,82	203,1	0,90
	23	2,43	222,5	1,09
45	24	2,00	144,2	1,38
	25	1,81	274,2	0,66
	26	1,33	187,4	0,71
50	27	2,30	213,6	1,08
	28	2,65	216,7	1,22
	29	2,70	181,8	1,49
	30	2,67	266	1,00
55	31	2,47	227,4	1,09
	32	2,20	216,1	1,02
	33	1,66	161,6	1,02
60				0,60
	34	1,29	214,7	
	35	1,35	124,5	1,08
65	36	3,03	240,4	1,26

TABLA 8 (continuación)

5	Larvas tratadas con AlPstM-M2*	Producción de poliedros por larva (×10 ⁹)	Peso alcanzado por larva (mg)	Producción de poliedros por mg de larva (×10 ⁷)
10	37	1,46	130,1	1,12
	38	2,84	164,8	1,72
	39	2,21	222,1	0,99
15	40	2,33	115,8	2,01
	41	2,37	212,7	1,11
	42	2,37	180,6	1,31
20	43	1,97	261,2	0,75
	44	1,97	190,7	1,03
	45	1,19	217,8	0,55
25	46	1,25	246,9	0,51
	47	2,89	238,8	1,21
	48	2,32	185,2	1,25
30	49	2,61	179,7	1,45
	50	2,10	119,0	1,76
	51	1,65	219,0	0,75
25	52	1,02	247,3	0,41
35	53	0,66	151,8	0,43
	54	2,87	168,0	1,71
	55	2,47	185,9	1,33
40	56	3,11	198,4	1,57
	57	3,36	199,4	1,68
	58	3,86	164,2	2,35
45	59	2,02	104,6	1,93
	60	2,23	174,4	1,28
	61	3,94	209,9	1,87
50	62	1,56	201,3	0,77
	63	2,70	201,6	1,34
	64	3,67	212,5	1,73
~~	65	3,10	215,1	1,44
55	66	3,06	174,5	1,75
	67	2,28	128,5	1,77
	68	3,16	182,6	1,73
60	69	0,76	110,8	0,69
	70	1,86	137,1	1,36
	71	3,03	236,3	1,28
65	72	1,25	246,9	0,51
	73	2,89	238,8	1,21

TABLA 8 (continuación)

5	Larvas tratadas con AlPstM-M2*	Producción de poliedros por larva (×10 ⁹)	Peso alcanzado por larva (mg)	Producción de poliedros por mg de larva (×10 ⁷)
10	74	2,83	199,6	1,42
	75	2,60	180,4	1,44
	76	2,10	129,5	1,62
15	77	2,65	250,9	1,05
	78	1,02	247,3	0,41
	79	0,68	121,4	0,56
20	80	2,87	168,0	1,71
	8 1	2,47	185,9	1,33
	82	3,11	198,4	1,57
25	83	3,35	198,6	1,69
	84	1,97	190,7	1,03
	85	1,81	273,2	0,66

^{*} La mezcla de genotipos AlPstM-M2 corresponde a la suma de los genotipos AlPstM0935:AlPstM1400:AlPstM1033

En un segundo ensayo se midió la producción de OBs en larvas que habían recibido previamente un tratamiento con un químico análogo de la hormona juvenil. Larvas recién mudadas al quinto estadio fueron alimentadas con dieta artificial superficialmente tratada con una suspensión de Fenoxicarb al 1% en agua destilada. Las larvas así tratadas experimentan una muda supernumeraria, muda extra que da lugar a un sexto estadio. Las larvas recién mudadas al sexto estadio son tratadas utilizando la misma concentración de virus y la misma metodología indicada en el apartado anterior. Los resultados indican que la producción de poliedros por larva oscila entre 1,82×10° y 10,40×10° y la producción de poliedros por miligramo de larva varía entre 0,65×10° y 2,16×10° (Tabla 9).

(Tabla pasa a página siguiente)

30

45

50

55

60

TABLA 9

5	Larvas tratadas	Producción de		Producción de poliedros
3	con	poliedros por larva	por larva	por mg de larva
	AlPstM-M2+HJ*	(×10 ⁹)	(mg)	(×10 ⁷)
	1	4,28	441,6	0,97
10	2	7,96	605,4	1,31
	3	5,83	524,5	1,11
	4	2,55	242,6	1,05
15	5	4,15	272,5	1,52
	6	6,19	587,2	1,05
	7	4,91	462,3	1,06
	8	5,11	403,1	1,27
20	9	6,68	674,1	0,99
	10	3,97	294,7	1,35
	11	3,19	489,0	0,65
25	12	5,90	487,4	1,21
	13	7,87	481,5	1,63
	14	8,47	545,0	1,55
	15	8,72	467,2	1,87
30	16	5,57	321,5	1,73
	17	7,95	593,7	1,34
	18	7,52	516,6	1,46
35	19	8,40	623,3	1,35
	20	7,05	454,3	1,55
	21	6,47	608,8	1,06
40	22	7,70	379,7	2,03
40	23	7,45	495,0	1,51
	24	3,32	323,6	1,03
	25	4,93	431,8	1,14
45	26	5,57	551,8	1,01
	27	7,20	521,4	1,38
	28	3,95	231,3	1,71
50	29	3,17	250,3	1,27
	30	7,80	418,8	1,86
	31	8,25	584,7	1,41
	32	7,05	464,4	1,52
55	33	3,58	336,9	1,06
	34	4,78	467,8	1,02
	35	3,53	416,9	0,85
60	36	3,15	324,0	0,97
	37	3,88	327,6	1,18
	38	8,83	602,6	1,46
65	39	5,98	529,9	1,13
65	40	7,75	407,1	1,90

TABLA 9 (continuación)

Larvas tratadas	Producción de	Peso alcanzado	Producción de poliedros
con	poliedros por larva	por larva	por mg de larva
AlPstM-M2+HJ*	(×10°)	(mg)	(×10 ⁷)
41	9,60	643,3	1,49
42	10,38	480,3	2,16
43	2,97	388,1	0,77
44	9,40	511,8	1,84
45	4,85	375,9	1,29
46	4,65	589,6	0,79
47	6,70	555,0	1,21
48	9,45	503,2	1,88
49	7,20	537,3	1,34
50	5,78	497,8	1,16
51	5,58	704,8	0,79
52	5,18	401,2	1,29
53	6,67	511,8	1,30
54	2,35	352,2	0,67
55	3,70	295,0	1,25
56	6,33	395,2	1,60
57	5,02	382,5	1,31
58	4,30	584,4	0,74
59	8,05	438,7	1,83
60	7,18	597,1	1,20
61	9,25	563,9	1,64
62	5,03	444,3	1,13
63	8,95	666,0	1,34
64	7,40	527,3	1,40
65	5,15	510,1	1,01
66	3,08	571,8	0,54
67	3,65	607,1	0,60
68	7,13	458,3	1,55
69	3,50	404,5	0,87
70	7,08	361,8	1,96
71	8,60	510,8	1,68
72	4,35	332,1	1,31
73	6,75	555,7	1,21
74	8,85	700,9	1,26
75	6,62	491,7	1,35
76	6,30	389,6	1,62
77	1,82	269,1	0,68
78	7,85	548,2	1,43
79	10,10	701,2	1,44
80	7,00	390,2	1,79

TABLA 9 (continuación)

5	Larvas tratadas con AlPstM-M2+HJ*	Producción de poliedros por larva (×10 ⁹)	Peso alcanzado por larva (mg)	Producción de poliedros por mg de larva (×10 ⁷)
	81	10,00	691,8	1,45
10	82	5,95	523,0	1,14
	83	9,45	503,2	1,88
	84	6,03	625,9	0,96
15	85	5,20	487,3	1,07
13	86	4,88	289,9	1,68
	87	10,40	513,0	2,03
	88	3,65	412,3	0,89

^{*} La mezcla de genotipos AlPstM-M2 corresponde a la suma de los genotipos AlPstM0935: AlPstM1400:AlPstM1033. Como químico análogo a la hormona juvenil (HJ) se utilizó una suspensión de Fenoxicarb al 1% en agua destilada.

El método de producción *in vivo* que utiliza un análogo de la hormona juvenil produce un incremento de más de 2,7 veces la cantidad media de cuerpos de poliedros producidos por larva. Los valores de producción por larva así como el peso medio final que adquieren las larvas se puede apreciar en la Tabla 10.

TABLA 10

		Producción de	Peso alcanzado	Producción de poliedros
)	Tratamiento	poliedros por larva (×10 ⁹)	por larva (mg)	por mg de larva (×10 ⁷)
	AlpstM-M2+H ₂ O	2,28	197,44	1,19
	M2+HJ	6,20	476,80	1,31

La mezcla de genotipos AlPstM-M2 corresponde a la suma de los genotipos AlPstM0935:AlPstM1400:AlPstM1033. Como producto químico análogo a la hormona juvenil (HJ) se utilizó una suspensión de Fenoxicarb al 1% en agua destilada.

Ejemplo 6

5 Estudios de la efectividad en campo del nucleopoliedrovirus de S. exigua

Inicialmente, se determina el tiempo que tardan las larvas en infectarse en condiciones de campo cuando el virus se aplicó a dos concentraciones diferentes. Para ello, como criterio se utiliza el porcentaje de mortalidad observado en grupos de larvas recogidas a distintos intervalos de tiempo (0, 6, 24, 48 y 96 horas) después de haber realizado la aplicación de suspensiones del virus a dos concentraciones distintas: 1×10^8 y 5×10^8 poliedros por litro de caldo aplicado. Las larvas se individualizan y se mantienen sobre dieta artificial en el laboratorio hasta que se produce su muerte por infección viral o tiene lugar su pupación (Tabla 11).

20

25

35

TABLA 11

5	Tratamiento	Momento de	Larvas	Nº Larvas	
		recolección (h)	recogidas	muertas	Mortalidad
	1x10 ⁸ poliedros/litro				
10		0	72	2	2,8
		6	91	20	22,0
		24	88	17	19,3
15		48	114	36	31,6
		96	117	38	32,5
	5x10 ⁸ poliedros/litro				
20		0	148	0	0
		6	219	68	31,1
		24	210	72	34,3
25		48	245	147	60,0
		96	236	191	80,9
30					

En un segundo ensayo, se comparó la efectividad del virus en campo respecto a un insecticida comercial (Lufenuron 0,05%). Además, se comprobó el incremento de capacidad insecticida de la formulación del virus con el abrillantador óptico Leucophor AP al 0,1% (Tabla 12).

(Tabla pasa a página siguiente)

TABLA 12

Tratamiento	Momento recolección	Larvas recogidas	Larvas muertas	% Mortalida
Testigo (H ₂ O)				
	2 días	90	9	10,0
	5 días	48	3	6,3
	8 días	55	5	9,1
Lufenuron 0.05%				
	2 días	86	33	38,4
	5 días	27	8	29,6
	8 días	32	6	18,8
AlPstM-M2 (1x10 ⁹ OB	s/l)			
	2 días	76	45	59,2
	5 días	84	78	92,9
	8 días	110	104	94,5
AlPstM-M2 (1x10 ⁹ OB	s/l)+ Leucophor A	P 0.1%		
	2 días	90	80	88,9
	5 días	79	70	88,6
	8 días	118	114	96,6

La mezcla de genotipos AlPstM-M2 corresponde a la suma de los genotipos AlPstM0935: AlPstM1400:AlPstM1033

55

60

65

Depósitos de los 6 genotipos reivindicados del nucleopoliedrovirus múltiple de *Spodoptera exigua* han sido efectuados en una Autoridad de Depósito de acuerdo con el Tratado de Budapest de depósito de microorganismos con fines de patente. La colección es la Collection Nationale de Cultures de Microorganismes (CNCM) con sede en el Institut Pasteur, con dirección en el nº 25 de la Rue du Docteur Roux, F-75724 París Cedex 15 (Francia).

El depósito de todas las muestras quedó registrado el 16 de Febrero de 2006 y a cada uno de los genotipos virales correspondió el siguiente nº de registro:

AlPstM0935 CNCM I-3572

Depósito de microorganismos

AlPstM1400 CNCM I-3573
AlPstM1033 CNCM I-3574
AlPstM1449 CNCM I-3575
AlPstM0923 CNCM I-3576
AlPstM0657 CNCM I-3577

10

15

20

25

30

45

65

5

Referencias bibliográficas

Belda, J. et al. 1994, Phytoma 57: 9-39.

Caballero, P. et al. 1992, Biocontr. Sci. Technol. 2: 35-38.

Caballero, P. et al. <u>2001</u>, Los baculovirus y sus aplicaciones como bioinsecticidas en el control biológico de plagas. Phytoma S.A., Valencia.

Cuadrado Gómez I.M. y Viñuela Sandoval, E. <u>1998</u>, Resistencia a los pesticidas en los hortícolas. FIAPA, La Cañada, Almería.

Cherry, A. J. et al. 1997, J. Invertebr. Pathol. 70: 50-58.

García-Maruniak et al., 1996, Virus Research, 41:123-132.

Gröner, A. <u>1986</u>, Specificity and safety of baculoviruses. pp. 177-202. En: R. R. Granados y Federici, B. A. (eds.), *The biology of baculoviruses*, Vol. 1. Academic Press, San Diego.

Hara K. et al., 1994, Appl. Entornol. Zool. 29: 395-402.

Hara K. et al., 1995, Acta Virol. 39: 215-222.

35 **Hughes** y **Wood**, <u>1981</u>, *J. Invertebr. Pathol.* 37:154-159.

Hunter-Fujita et al., 1998, Insect viruses and pest management. Wiley, Chichester, Reino Unido.

Jaques, R. P. <u>1985</u>. Stability of insect viruses in the environment. pp. 285-360. En: K. Maramorosch y K. E. Sherman (eds.), *Viral insecticides for biological control*. Academic Press, Orlando, EE.UU.

Kolodny-Hirsch, D. M., et al. 1997, Biocontr. Sci. Technol. 7: 475-488.

Li et al., 2005, Journal of General Virology, 86:91-105.

Moreno, R. et al. 1992, Hortofruticultura 1: 41-54;

Moscardi, F. 1999, Annu. Rev. Entomol. 44: 257-289.

50 **Muñoz**, D. et al., 1998, Appl. Environ. Microbiol. 64: 4372-4377.

Muñoz, D. et al., 1999, Virus Res., 59:61-74.

Muñoz, D. et al., 2000, Entomol. Exp. Appl. 97: 275-282.

Muñoz, D. et al., 2001. Técnicas básicas para la caracterización de baculovirus. pp. 479-518. En: Los baculovirus y sus aplicaciones corno bioinsecticidas en el control biológico de plagas. Eds: P. Caballero, M. López-Ferber y T. Williams.

60 **Murillo**, R. et al. 2003, J. Econ. Entomol. 96: 1668-1674.

Richards y Christian, 1999. J. Virol. Meth. 82:63-75.

Smits, P. H. y Vlak, J. M. <u>1994</u>. Med. Fac. Landbouw. Univ. Gent 59: 383-392.

Wang, P. y Granados, R. R. 2000, Insect Biochem. Mol. Biol. 30: 135-143

Descripción de las figuras

Figura 1: A) Mapa físico del genoma de SeMNPV (aislado de referencia) con la endonucleasa de restricción *Pst*I, destacando al posición del fragmento M que contiene la zona hipervariable correspondiente a la región homóloga *hr*1; B) ORFs más próximas a la zona hipervariable; C) localización de los cebadores y su posición en la secuencia de nucleótidos.

Figura 2: Electroforesis de los fragmentos de restricción obtenidos al tratar el ADN viral de los genotipos AlPstM0935, AlPstM1400, AlPstM1033, AlPstM1449, AlPstM0923, y AlPstM0657 con la enzima *Bgl*II. Para cada genotipo se indican los fragmentos polimórficos a la derecha del carril. A la izquierda de la figura se indican los tamaños de algunos fragmentos de restricción en kilobases.

Figura 3: Electroforesis de los fragmentos de restricción generados por la digestión con *BgI*II de los productos de PCR obtenidos para cada uno de los genotipos AlPstM0935, AlPstM1400, AlPstM1033, AlPstM1449, AlPstM0923, y AlPstM0657. La última columna (M) muestra el marcador de tamaño de fragmento cuyos valores se señalan a la derecha de la figura en kilobases.

REIVINDICACIONES

- 1. Nucleopoliedrovirus múltiple de *Spodoptera exigua* que pertenece a un genotipo seleccionado entre: AlPstM0935, AlPstM1400, AlPstM1033, AlPstM1449, AlPstM0923 o AlPstM0657.
 - 2. Nucleopoliedrovirus múltiple de *Spodoptera exigua* según la reivindicación 1, que pertenece al genotipo AlPstM0935, **caracterizado** por comprender la secuencia de ADN representada por SEQ ID NO:4.
- 3. Nucleopoliedrovirus múltiple de *Spodoptera exigua* según la reivindicación 1 que pertenece al genotipo AlPstM 1400, **caracterizado** por comprender la secuencia de ADN representada por SEQ ID NO:5.
 - 4. Nucleopoliedrovirus múltiple de *Spodoptera exigua* según la reivindicación 1 que pertenece al genotipo AlPstM1033, **caracterizado** por comprender la secuencia de ADN representada por SEQ ID NO:6.
- 5. Nucleopoliedrovirus múltiple de *Spodoptera exigua* según la reivindicación 1 que pertenece al genotipo AlPstM1449, **caracterizado** por comprender la secuencia de ADN representada por SEQ ID NO:7.
- 6. Nucleopoliedrovirus múltiple de *Spodoptera exigua* según la reivindicación 1 que pertenece al genotipo AlPstM0923, **caracterizado** por comprender la secuencia de ADN representada por SEQ ID NO:8.
 - 7. Nucleopoliedrovirus múltiple de *Spodoptera exigua* según la reivindicación 1 que pertenece al genotipo AlPstM0657, **caracterizado** por comprender la secuencia representada por SEQ ID NO:9.
- 8. Nucleopoliedrovirus múltiple de *Spodoptera exigua* según cualquiera de las reivindicaciones 1 a 7, que está en forma de poliedro.
 - 9. Una composición plaguicida que comprende poliedros según la reivindicación 8.
- 10. Una composición plaguicida según la reivindicación 9 que comprende nucleopoliedrovirus múltiples de *Spodoptera exigua* de un genotipo seleccionado entre AlPstM0935, AlPstM1400, AlPstM1033, AlPstM1449, AlPstM0923 o AlPstM0657.
- 11. Una composición plaguicida según la reivindicación 9 que comprende mezclas de nucleopoliedrovirus múltiples de *Spodoptera exigua* de al menos dos genotipos seleccionados entre AlPstM0935, AlPstM1400, AlPstM1033, AlPstM1449, AlPstM0923 o AlPstM0657.
 - 12. Una composición plaguicida según la reivindicación 11, que comprende mezclas de nucleopoliedrovirus múltiples de *Spodoptera exigua* de los genotipos AlPstM1400 y AlPstM1033.
- 40 13. Una composición plaguicida según la reivindicación 11, que comprende mezclas de nucleopoliedrovirus múltiples de *Spodoptera exigua* de los genotipos AlPstM0935, AlPstM1400 y AlPstM1033.
- 14. Una composición plaguicida según la reivindicación 11, que comprende mezclas de nucleopoliedrovirus múltiples de *Spodoptera exigua* de los genotipos AlPstM0935 y AJPstM1033.
 - 15. Una composición plaguicida según la reivindicación 14, en la que los poliedros se encuentran en un vehículo acuoso.
- 16. Una composición plaguicida según cualquiera de las reivindicaciones 9 a 15 que comprende adicionalmente un abrillantador óptico.
 - 17. Una composición plaguicida según la reivindicación 16, en la que el abrillantador óptico es un derivado del estilbeno.
- 55 18. Una composición plaguicida según la reivindicación 17, en la que el derivado del estilbeno es Leucophor AP.
 - 19. Una composición plaguicida según la reivindicación 18, en la que el Leucophor AP está presente en un porcentaje que oscila entre el 0,1% y el 1%.
- 20. Una composición plaguicida según cualquiera de las reivindicaciones 18 ó 19, que comprende mezclas de nucleopoliedrovirus múltiples de *Spodoptera exigua* de al menos los genotipos AlPstM0935, AlPstM1400 y AlPstM1033.
- 21. Un procedimiento de obtención *in vivo* de poliedros de los genotipos AlPstM0935, AlPstM1400, AlPstM1033, AlPstM1449, AlPstM0923 y/o AlPstM0657 del nucleopoliedrovirus múltiple de *Spodoptera exigua*, que comprende las etapas de:

- a) alimentar larvas de Spodoptera exigua con dieta artificial contaminada con poliedros de virus de la reivindicación 8;
- b) mantener las larvas a 24°C-28°C hasta que se produce su muerte;
- c) purificar los poliedros generados en las larvas triturando los cadáveres de las larvas en agua bidestilada que contiene dodecilsulfato sódico, filtrando la suspensión resultante, precipitando los poliedros mediante centrifugación, lavando el precipitado con agua con cloruro sódico y precipitando de nuevo por centrifugación;
- d) resuspender el precipitado final en agua estéril;

5

10

15

35

45

50

55

60

- e) almacenar las muestras a temperatura ambiente o, preferentemente, en refrigeración u, opcionalmente, si se añade glicerol al agua, a temperatura igual o inferior a -70°C; u
- f) opcionalmente, liofilizar la muestra y conservar a temperatura ambiente.
- 22. Un procedimiento de obtención de poliedros según la reivindicación 21, en el que se suministran de 10^6 a 10^7 poliedros por larva.
- 23. Un procedimiento de obtención de poliedros según cualquiera de las reivindicaciones 21 ó 22, en el que la dieta artificial que recibe cada larva se suministra en forma de pastillas que contienen 7,2% de germen de trigo, 3,3% de caseína, 2,9% de azúcar comercial, 1,4% de levadura de cerveza, 0,94% de mezcla de sales de Wesson, 0,15% de ácido sórbico, 0,09% colesterol, 0,09% nipagina, 1,9% agar industrial y 82,8% agua destilada.
- 25. 24. Un procedimiento de obtención de poliedros según cualquiera de las reivindicaciones 21 a 23, en el que las larvas de *Spodoptera exigua* se encuentran en el quinto estadio larvario en el momento de iniciar las etapas del procedimiento.
- 25. Un procedimiento de obtención de poliedros según cualquiera de las reivindicaciones 21 a 24 que comprende adicionalmente la adición de un análogo de la hormona juvenil de la larva a la dieta previamente a la adición de los virus a la misma.
 - 26. Un procedimiento de obtención de poliedros según la reivindicación 25, en el que el análogo de la hormona juvenil es el Fenoxicarb.
 - 27. Un procedimiento de obtención de poliedros según la reivindicación 26, en el que el Fenoxicarb se añade en la superficie de las pastillas de la dieta en forma de suspensión al 1% en agua destilada.
- 28. Uso de nucleopoliedrovirus múltiples de *Spodoptera exigua* de cualquiera de las reivindicaciones 1 a 8 o de composiciones plaguicidas según cualquiera de las reivindicaciones 9 a 20 para controlar plagas producidas por *Spodoptera exigua*.

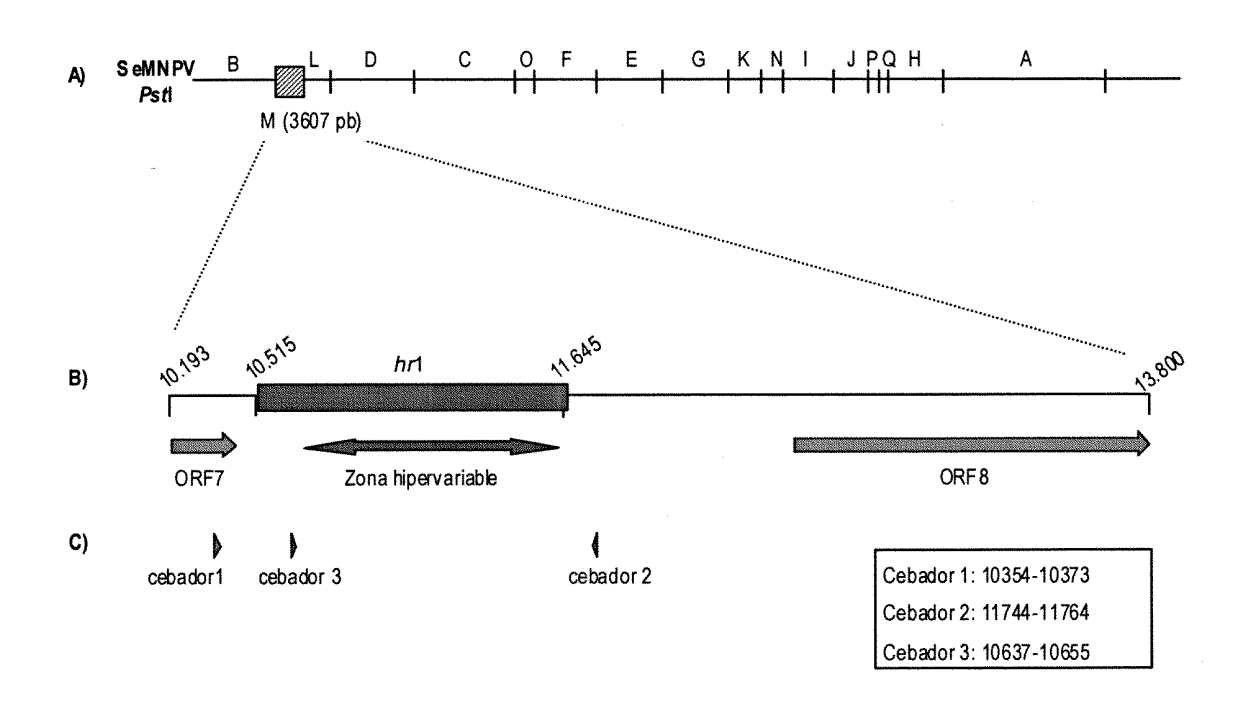


Figura 1

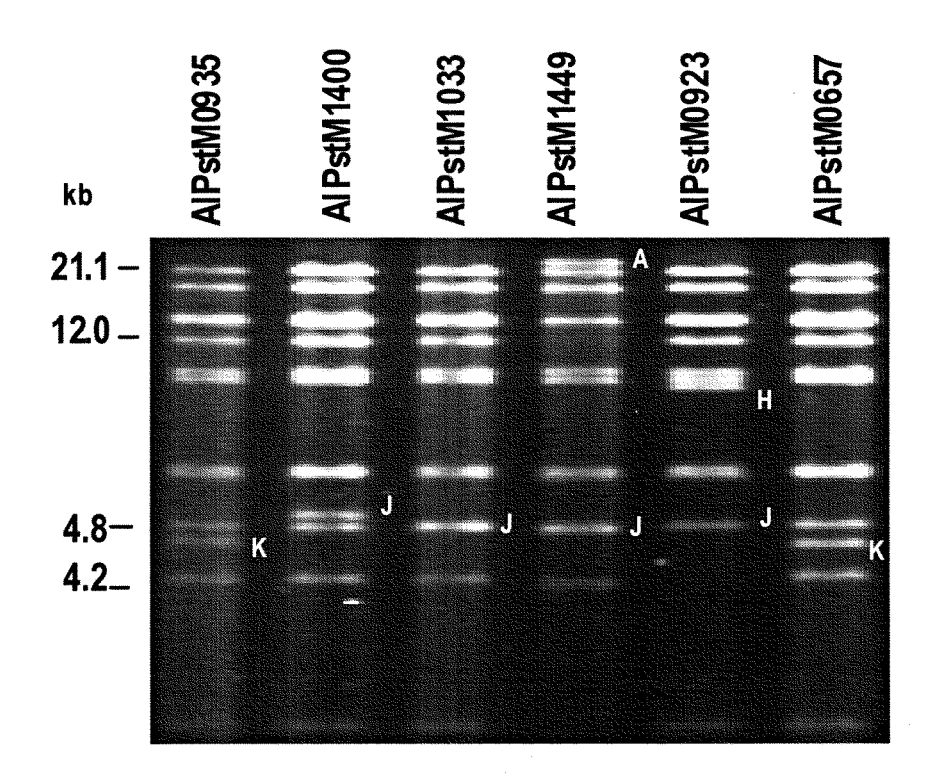


Figura 2

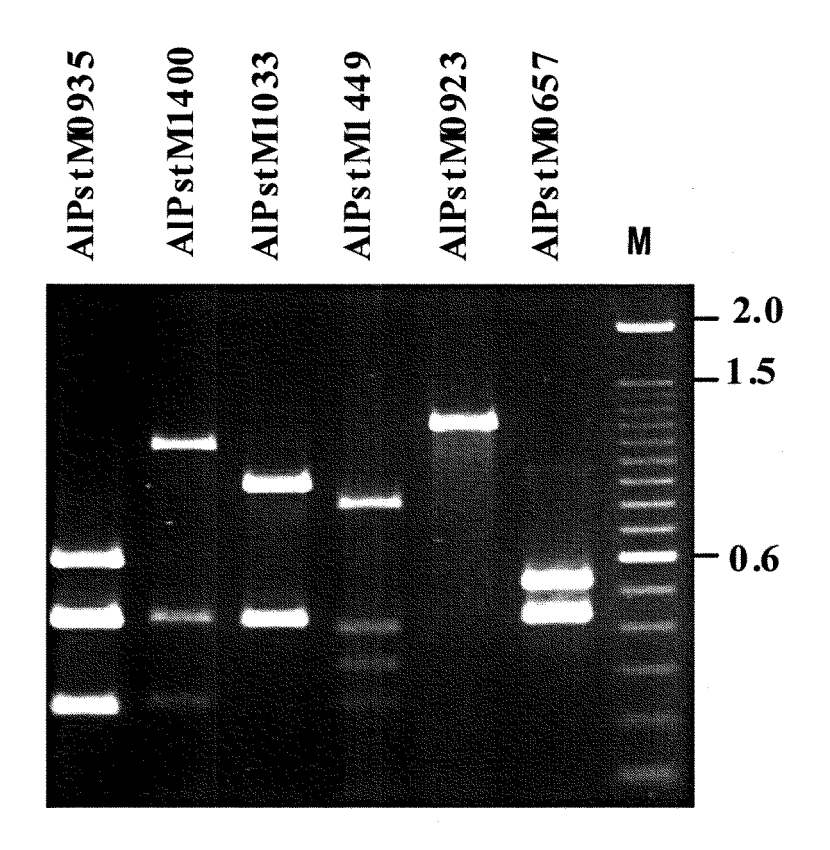


Figura 3

LISTA DE SECUENCIAS

	<110> Universidad Pública de Navarra	
5	<120> Nuevos genotipos del nucleopoliedrovirus de <i>Spodoptera exigua</i> y su uso en el control de las plagas produc por este insecto	cidas
	<130> P-100278	
	<160>9	
10	<210> 1	
10	<211> 20	
	<212> ADN	
	<213> Secuencia artificial	
15	<220>	
	<221> Cebador	
	<400> 1	
20	ctttgtcatc gtcacctacg	20
	<210> 2	
25	<211> 21	
	<212> ADN	
	<213> Secuencia artificial	
30	<220>	
	<221> Cebador	
	<400> 2	
35	gagatcatca tcgatgaaat c	21
	<210> 3	
40	<211> 20	
	<212> ADN	
	<213> Secuencia artificial	
	<220>	
45	<221> Cebador	
	<400> 3	
50	ccaatgacgg ttgatgcaaa	20
	<210> 4	
	<211> 964	
55	<212> ADN	
	<213> Nucleopoliedrovirus múltiple de Spodoptera exigua	
	<220>	
60	<223> Genotipo AlPstM0935	
60		

<400> 4

_	ccaatgaggt	tgatgcaaaa	tatggcgtga	tattgatatc	atcgctaaaa	50
5	aatatggcgt	gatattgata	tcatcgctaa	aaatagattt	gacgcaatac	100
	aaaactctag	tacatgatgt	ttgctttcgt	ccaagatctt	tgatgaaagc	150
	aaagatcatg	tattaaacat	atcatcgcca	aaaatagatt	tgacgcaatc	200
10	aaaactctag	tacacgatgt	ttgctttcgt	cgaggatcgt	cgatgaaagc	250
	aaagatcatg	tactaaacaa	aaaaattgtg	taatactgat	atcatagcta	300
	aaaatagatt	tgacgcaata	caaactttgg	tacacgatct	ttgctttcgt	350
15	ccaagatctt	tgatgaaagc	aaagatcatg	tattaaacac	atcatcgcta	400
	aaaatagatt	tgacgcaatc	aaaactttag	tacatgatct	ttgctttcgt	450
	cgaggatcgt	cgatgaaagc	aaacatcgtg	tactaaaatt	tattaaacac	500
20	atcatcgcca	aaaatagatt	tgacgcaact	ctccatcttt	gctttcgtcg	550
	aggatcgtgg	atgaaagcaa	agatcatgta	ctaaaattta	ttaaacacat	600
	catcgataaa	aatagatttg	acgcaatcaa	aactttagta	catgatcttt	650
25	gctttcatcg	aggatcttcg	atgaaagcaa	agatcatgta	ctagagtttt	700
	aagtggtgtt	caagatatac	cccgttaatg	tcaacggtaa	aaataaatgg	750
	ttactaaccc	atttgcagaa	atacacgatc	tttgctttcg	tccacgatcg	800
30	tcgatgaaag	caaagatcgt	gtattacatt	gcacattatt	tcatcatcct	850
	aatatttcat	catctttacg	acacatgact	ttatcgatgt	tgtttgacct	900
	cgttatattg	tatcatattt	ggttgatgat	ctcatttgag	gatgatttca	950
35	tcgatgatga	tctc				964

<210> 5

<211> 1460

<212> ADN

<213> Nucleopoliedrovirus múltiple de Spodoptera exigua

45 <220>

<223> Genotipo AlPstM1400

50

55

60

<400> 5

5	ccaatgaggt	tgatgcaaaa	tatggcgtga	tattgatatc	atcgctaaaa	50
	aatatggcgt	gatattgata	tcatcgctaa	aaatagattt	gacgcaatac	100
	aaaactctag	tacatgatgt	ttgctttcgt	ccaagatctt	cgatgaaagc	150
10	aaagatcatg	tactaaaatt	tattaaacat	atcatcgcca	aaaatagatt	200
	tgacgcaatc	aaaactctag	tacacgatgt	ttgctttcgt	cgaggatcgt	250
	cgatgaaagc	aaagatcatg	tactaaacaa	aaaaattgtg	taatactgat	300
15	atcatagcta	aaaatagatt	tgacgcaata	caaactttgg	tacacgatct	350
10	ttgctttcgt	ccaagatctt	tgatgaaagc	aaagatcatg	tattaaacac	400
	atcatcgcta	aaaatagatt	tgacgcaatc	aaaactttag	tacatgatct	450
20	ttgctttcgt	cgaggatcgt	cgatgaaagc	aaacatcgtg	tactaaaatt	500
20	tattaaacac	atcatcgata	aaaatagatt	tgacgcaact	ctccatcttt	550
	gctttcgtcg	aggatcgtgg	atgaaagcaa	agatcatgta	ctaaaattta	600
25	ttaaacacat	catcgataaa	aatagatttg	acgcaatcaa	aactttagta	650
23	catgatettt	gctttcatcg	aggatcttcg	atgaaagcaa	agatcatgta	700
	ctagagtttt	aagtggtgtt	caagatatac	cccgttaatg	tcaacggtaa	750
30	aaataaatgg	ttactaaccc	atttgcagaa	atacacgatc	tttgctttca	800
50	tccacgatcg	tcgatgaaag	caaagatcat	gtactacgat	ttgcaattat	850
	gtcatcgcta	aaaatagatt	tgacgcaata	caatattcta	gtactcgatc	900
35	tttgctttcg	tccaagatcg	tcgatgaaag	caaagatcgt	gtattaaaat	950
33	ttaaatcgac	gcaattacga	tttttgcaaa	caaacatgat	gactcaagat	1000
	ttaatacaca	atctttgatt	tcatcgacga	tcttcgacga	aagcaaagat	1050
40	cgtgtactat	tgcgtcaatt	ctatttttag	cgatgattta	atacacaatc	1100
40	ttacaaactt	cgacgaaagc	aaagatggtg	tcaagtttcc	gcaatagaat	1150
	agtacaccat	ctttgctttc	gtccacgatc	gtcgatgaaa	gcaaacatca	1200
45	tgtactagaa	ttgacactat	cgatgcagtc	atcgctaaaa	atagatttga	1250
73	cgcaatacaa	aactctagta	ctcgatcttt	gctttcatca	aggatcgtcg	1300
	atgaaagcaa	agatcgtgtg	ttacattgca	cattatttca	tcatcctaat	1350
50	atttcatcat	ctttacgaca	catgacttta	tcgatgttgt	ttgacctcgt	1400
50	tatattgtat	catatttggt	tatgatctca	tttgaggatg	atttcatcga	1450
	tgatgatctc					1460
55						
	<210> 6					
	<211> 1033					
60	<212> ADN					

65

<220>

<223> Genotipo AlPstM1033

<213> Nucleopoliedrovirus múltiple de Spodoptera exigua

<400> 6

	ccaatgaggt	tgatgcaaaa	tatggcgtga	tattgatatc	atcgctaaaa	50
5	aatatggcgt	gatattgata	tcatcgctaa	aaatagattt	gacgcaatac	100
	aaaactctag	tacatgatgt	ttgctttcgt	ccaagatctt	cgatgaaagc	150
	aaagatcatg	tactaaaatt	tattgaacat	atcatcgcca	aaaatagatt	200
10	tgacgcaatc	aaaactctag	tactcgatct	ttgctttcgt	cgaggatctt	250
	cgatgaaagc	aaagatcatg	tactagagtt	tttaagtggt	gttcaagata	300
	taccccgtta	atgtcaacgg	taaaaataaa	tggttactaa	cccatttgca	350
15	gaaatacacg	atctttgctt	tcatccacga	tcgtcgatga	aagcaaagat	400
	catgtactac	gatttgcaat	tatgtcatcg	ctaaaaatag	atttgacgca	450
	atacaatatt	ctagtactcg	atctttgctt	tcgtccaaga	tcgtcgatga	500
20	aagcaaagat	cgtgtattaa	aatttaaatc	gacgcaatta	cgatttttgc	550
	aaacaaacat	gatgactcaa	gatttaatac	acaatctttg	atttcatcga	600
	cgatcttcga	cgaaagcaaa	gatcgtgtac	tattgcgtca	attctatttt	650
25	tagcgatgat	ttaatacaca	atcttacaaa	cttcgacgaa	agcaaagatg	700
	gtgtcaagtt	tccgcaatag	aatagtacac	catctttgct	ttcgtccacg	750
	atcgtcgatg	aaagcaaaca	tcatgtacta	gaattgacac	tatcgatgca	800
30	gtcatcgcta	aaaatagatt	tgacgcaata	caaaactcta	gtactcgatc	850
	tttgctttca	tcaaggatcg	tcgatgaaag	caaagatcgt	gtgttacatt	900
	gcacattatt	tcatcatcct	aatatttcat	catctttacg	acacatgact	950
35	ttatcgatgt	tgtttgacct	cgttatattg	tatcatattt	ggttatgatc	1000
	tcatttgagg	atgatttcat	cgatgatgat	ctc		1033

<210> 7

<211> 1449

<212> ADN

<213> Nucleopoliedrovirus múltiple de Spodoptera exigua

45 <220>

<223> Genotipo AlPstM1449

50

55

60

<400> 7

	ccaatgaggt	tgatgcaaaa	tatggcgtga	ttataacatc	gtgatatcat	50
5	cgctaaaaat	agatttgacg	caatacaaaa	ctctagtact	cgatctttgc	100
	tttcgtccaa	gatcttcgac	gaaagcaaag	atcatgtact	aaaatttatt	150
	aaacatcatc	gccaaaaata	gatttgacac	aatcaaaact	ctagtacacg	200
10	atgtttgctt	tcgtcgagga	tcgtcgatga	aagcaaagat	catgtactaa	250
	acaaaaaaat	tgtgtaatac	taatatcata	gctaaaaata	gatttgacgc	300
	aatacaaaac	tttggtacac	gatctttgct	ttcgtccaag	atcttcgacg	350
15	aaagcaaaga	tcatgtatta	aacacatcat	cgctaaaaat	agatttgacg	400
	caatcaaaac	tttagtacat	gatctttgct	ttcgtcgagg	atcgtggata	450
	aaagcaaaga	tcatgtacta	aaatttatta	aacacatcat	cgataaaaat	500
20	agatttgacg	caactctcca	tctttgcttt	cgtcgaggat	cgtcgatgaa	550
	agcaaagatc	atgtactaaa	atttattaaa	cacatcatcg	ataaaaatag	600
	atttgacgca	atcaaaactc	tagtactcga	tctttgcttt	cgtccaagat	650
25	cttcgacgaa	agcaaagatc	atgtactaga	gtttttaagt	ggtgttcaag	700
	atataccccg	ttaatgtcaa	cggtaaaaat	aaatggttac	taacccattt	750
	gcagaaatac	acgatctttg	ctttcgtcca	cgatcgtcga	tgaaagcaaa	800
30	gatcatgtac	tacgatttgc	aattatgtca	tcgctaaaaa	tagatttgac	850
	gcaatacaat	attctagtac	acgatctttg	ctttcgtcga	cgattttgga	900
	cgaaagcaaa	gatcatgtat	taaaatttaa	atcgacgcaa	ttacgatttt	950
35	tgcaaacaaa	catgatgact	caagatttaa	tacacaatct	ttgctttcat	1000
	cgacgatctt	cgacgaaagc	aaagatcgta	tactattgcg	tcaattctat	1050
	ttttagcgat	gatttaatac	acaatcttac	aaacttcgac	gaaagcaaag	1100
40	atggtgtcaa	gtttccgcaa	tagaatagta	caccatcttt	gctttcgtcc	1150
	acgatcgtcg	atgaaagcaa	acatcatgta	ctagaattga	cactatcgat	1200
	gcagtcatcg	atgcagtcat	cgctaaaaat	agatttgaca	caatacaaaa	1250
45	ctctagtact	cgatctttgc	tttcgtccaa	gatcgtcgat	gaaagcaaag	1300
	atcgtgtatt	acattgcaca	ttatttcatc	atcctaatat	ttcatcatct	1350
	ttacgacaca	tgactttatc	gatgttgttt	gacctcgtta	tattgtatca	1400
50	tatttggttg	atgatctcat	ttgaggatga	tttcatcgat	gatgatctc	1449

<210> 8

₅₅ <211> 923

<212> ADN

<213> Nucleopoliedrovirus múltiple de Spodoptera exigua

<220>

^{60 &}lt;223> Genotipo AlPstM0923

<400> 8 ccaatgaggt tgatgcaaaa tatggcgtga tattgatatc atcgctaaaa 50 aatatggcgc gatattgata tcatcgctaa aaatagattt gacgcaatca 100 5 aaactctagt actcgatctt tgctttcgtc gaggatcttc gatgaaagca 150 aagatcatgt actagagttt ttaagtggtg ttcaagatat accccgttaa 200 tgtcaacggt aaaaataaat ggttactaac ccatttgcag aaatacacga 250 10 tctttgcttt catccacgat cgtcgatgaa agcaaagatc atgtactacg 300 atttgcaatt atgtcatcgc taaaaataga tttgacgcaa tacaatattc 350 tagtactcga tctttgcttt cgtccaagat cgtcgatgaa agcaaagatc 400 15 gtgtattaaa atttaaatcg acgcaattac gatttttgca aacaaacatg 450 atgactcaag atttaataca caatctttga tttcatcgac gatcttcgac 500 gaaagcaaag atcgtgtact attgcgtcaa ttctattttt agcgatgatt 550 20 taatacacaa tottacaaac ttogacgaaa gcaaagatgg tgtcaagttt 600 ccgcaataga atagtacacc atctttgctt tcgtccacga tcgtcgatga 650 aagcaaacat catgtactag aattgacact atcgatgcag tcatcgctaa 700 25 aaatagattt gacgcaatac aaaactctag tactcgatct ttgctttcat 750 caaggatcgt cgatgaaagc aaagatcgtg tgttacattg cacattattt 800 catcatccta atatttcatc atctttacga cacatgactt tatcgatgtt 850 gtttgacctc gttatattgt atcatatttg gttgatgatc tcatttgagg 900 30 atgatttcat cgatgatgat ctc 923 <210> 9 <211> 657 <212> ADN <213> Nucleopoliedrovirus múltiple de Spodoptera exigua <220> <223> Genotipo AlPstM0657 <400> 9 45 ccaatgaggt tgatgcaaaa tatggcgtga tattgatatc atcgctaaaa 50 100 aatatggcgt gatattgata tcatcgctaa aaatagattt gacgcaatac aaaactctag tacatgatgt ttgctttcgt ccaagatctt cgatgaaagc 150 200 aaaqatcatg tactaaaatt tattgaacat atcatcgcca aaaatagatt 50 250 tgacgcaatc aaaactctag tactcgatct ttgctttcgt cgaggatctt 300 cgatgaaagc aaagatcatg tactagagtt tttaagtggt gttcaagata 350 taccccqtta atgtcaacqg taaaaataaa tggttactaa cccatttgca 55 gaaatacacg atctttgctt tcatccacga tcgtcgatga aagcaaagat 400 catgtactac gatttgcaat tatgtcatcg ctaaaaatag atttgacgca 450 atacaatatt ctagtactcg atctttgctt tcgtccaaga tcgtcgatga 500 60 aagcaaagat cgtgtgttac attgcacatt atttcatcat cctaatattt 550 catcatcttt acgacacatg actttatcga tgttgtttga cctcgttata 600

650

657

ttgtatcata tttggttgat gatctcattt gaggatgatt tcatcgatga

tgatctc



(1) ES 2 301 352

(21) Nº de solicitud: 200601065

22 Fecha de presentación de la solicitud: 26.04.2006

32) Fecha de prioridad:

INFORME SOBRE EL ESTADO DE LA TÉCNICA

(51)	Int. Cl.:	C12N 7/01 (2006.01)
		A01N 63/00 (2006.01)

DOCUMENTOS RELEVANTES

Categoría		Documentos citados	Reivindicaciones afectadas		
Х	rapid differentiation of Spodo		1-8,22-28		
х	MURILLO, R. et al., "Genetic Spodoptera exigua nucleopol soils in southern Spain.", BIC Vol. 38, No. 2, páginas 157-1 el 19.01.2006]. Materiales y N	9-10, 22-28			
Α	MUÑOZ, D. et al., "Four genotypic variants of a Spodoptera exigua Nucleopolyhedrovirus (Se-SP2) are distinguishable by a hypervariable genomic region.", VIRUS RESEARCH, 1999, Vol. 59, No. 1, páginas 61-74. Todo el documento.				
А	MURILLO, R. et al., "Effect of properties and genetic stabili Spodoptera exigua (Lepidopt 2003, Vol. 96, No. 6, páginas	1-28			
Α	MUÑOZ, D. et al., "In vivo rec the genus Nucleopolyhedrovi exigua.", APPL. ENVIRON. M páginas 3025-3031. Todo el c	1-28			
Α	IJKEL, W.F., et al., "Sequence spodoptera exigua multicapsi J. GEN. VIROL., 1999, Vol. 8 Todo el documento.	1-28			
Categorí	ía de los documentos citados				
X: de partion Y: de partion misma de control of the	icular relevancia icular relevancia combinado con otro/s o categoría el estado de la técnica	O: referido a divulgación no escrita			
	nte informe ha sido realizado todas las reivindicaciones	para las reivindicaciones nº:			
Fecha de	e realización del informe 21.05.2008	Examinador J.L. Vizán Arroyo	Página 1/1		